

Οι απώλειες φορτίου και οι παροχές σχεδιασμού σε κλειστά κυκλοφοριακά (βροχωτά) υπό πίεση άρδευτικά δίκτυα με ελεύθερη ζήτηση

Τοῦ Λάζαρου Λαζαρίδη*, Πολιτικοῦ Μηχ/κοῦ

Περίληψη

Ἡ λειτουργία τῶν κλειστῶν κυκλοφοριακῶν ὑπὸ πίεση δικτύων ἀρδεύσεως με ελεύθερη ζήτηση ἔχει πιθανοθεωρητικό χαρακτήρα. Ἔτσι οἱ ἀντίστοιχες ἀπώλειες φορτίου ἔχουν καὶ αὐτὲς πιθανοθεωρητικό χαρακτήρα καὶ ἡ ἔρευνα στὴν παρούσα ἐργασία ἔχει σκοπὸ νὰ προσδιορίσει καταρχὴ αὐτὲς τὲς ἀπώλειες σὲ ἓνα βρόχο σωληνωτοῦ δικτύου ποὺ λειτουργεῖ με ελεύθερη ζήτηση.

Ἡ ἀναζήτηση τῆς λύσεως ἔγινε με βάση τὴν κατανομὴ τῆς ἀπώλειας φορτίου σὲ ὅμοια ἀλλά ἀκτινωτὰ δίκτυα. Βρέθηκαν ἔτσι καὶ ἐδῶ ἀντίστοιχες «ιδεατὲς παροχὲς» ποὺ ἂν ἐφαρμοσθῶν στὰ διάφορα τμήματα τοῦ βρόχου μᾶς δίνουν ἐκείνες ἀκριβῶς τὲς ἀπώλειες φορτίου ποὺ ἀντιστοιχοῦν στὴν ἐπιθυμητὴ στάθμη πιθανότητας ἢ ποιότητας λειτουργίας ὅπως ὀνομάζεται.

Ὅπως καὶ στὰ ἀκτινωτὰ δίκτυα ἔτσι καὶ ἐδῶ θεωρήθηκε ἡ ἀπώλεια φορτίου $h = m + u \cdot s$ σὰν τυχαία μεταβλητὴ, ὅπου m καὶ s εἶναι ἀντίστοιχα ἡ μέση τιμὴ καὶ ἡ τυπικὴ ἀπόκλιση τῆς, ἐνῶ ἡ τυποποιημένη τιμὴ τῆς ἀπώλειας φορτίου ἀποδείχτηκε ὅτι μπορεῖ νὰ θεωρηθεῖ γιὰ τὸ πεδίο ἐφαρμογῆς ἴση με τὴν e ποὺ εἶναι ἡ τυποποιημένη τιμὴ κανονικῆς κατανομῆς ($\mu = 0, \sigma = 1,0$).

Τὰ ἀποτελέσματα τῆς ἔρευνας εἶναι καὶ ἐδῶ ἀρκετὰ ἀπλά καὶ παρόμοια με τὰ ἀποτελέσματα ποὺ βρήκαμε γιὰ τὰ ἀκτινωτὰ δίκτυα καὶ ἔχουν ἐπαληθευτεῖ με τὴ μέθοδο τῆς ἐξομώσεως σὲ ἓνα κλειστὸ κυκλοφοριακὸ βρόχο.

1. Εἰσαγωγή

Σὲ μιὰ σχετικὴ ἔρευνα [4] τῶν ἀπωλειῶν φορτίου καὶ τῶν παροχῶν σχεδιασμοῦ σὲ ἀκτινωτὰ ὑπὸ πίεση δίκτυα ἀρδεύσεως ποὺ λειτουργοῦν με ελεύθερη ζήτηση, ἔχουν δοθεῖ ὅλα τὰ γενικά στοιχεῖα ὅπως ἐπίσης καὶ οἱ σχετικὲς ἐργασίες ποὺ ἀφοροῦν τέτοια δίκτυα. Πολλὰ στοιχεῖα ἀπὸ αὐτὰ εἶναι γενικοῦ χαρακτήρα καὶ ἀφοροῦν ὄχι μόνο τὰ ἀκτινωτὰ δίκτυα ἀλλὰ καὶ τὰ κλειστὰ κυκλοφοριακά. Σὰν τέτοια εἶναι, π.χ. ὁ τύπος τοῦ R. Clement, ὁ καθορισμὸς τῆς ποιότητας λειτουργίας κλπ.

Ἐδῶ δὲ θεωροῦμε σκόπιμο νὰ ἐπαναλάβουμε τὴν περιγραφή τῶν ἐργασιῶν αὐτῶν καὶ τῶν ἐνδιαφερόντων στοιχείων, ἀφοῦ δόθηκαν στὴν πιὸ πάνω [4] σχετικὴ ἐργασία μᾶς. Θὰ ἀναφέρουμε μόνο γιὰ ὑπενθύμηση ὅτι ἡ παροχὴ σὲ μιὰ θέση τοῦ δικτύου ἀκολουθεῖ τὴ διωνυμικὴ κατανομὴ (Bernouilli) ἢ με ἄλλα λόγια ἡ πιθανότητα φ νὰ ζητιέται παροχὴ $Q \leq N \cdot q_0$ θὰ εἶναι:

$$\varphi = \sum_0^N \binom{N}{n} p^n \cdot (1-p)^{N-n}$$

ὅπου φ = ἡ πιθανότητα νὰ ζητιέται παροχὴ $Q \leq R \cdot q_0$

N = Μέγιστο πλῆθος ἀνοικτῶν στομιῶν ὑδροληψιῶν γιὰ στάθμη πιθανότητας φ ($N \leq R$)

R = Συνολικὸ πλῆθος στομιῶν ὑδροληψίας τοῦ δικτύου ποὺ ἐξυπηρετεῖται ἀπὸ τὴν ἐξεταζόμενη θέση

p = Πιθανότητα λειτουργίας κάθε στομιῦ ποὺ θεωρεῖται σταθερή.

Ἡ προσέγγιση τῆς διωνυμικῆς κατανομῆς ὅπως εἶναι γνωστὸ πραγματοποιεῖται ἱκανοποιητικὰ με κατανομὲς πιὸ εὐχρηστες ὅπως π.χ. ἡ κατανομὴ Poisson καὶ ἡ κανονικὴ κατανομὴ.

Ὁ πιὸ πάνω τύπος τοῦ R. Clement ποὺ εἶναι γνωστὸς σὰν «πρῶτος τύπος», ἐφαρμόζεται γιὰ τὸν προσδιορισμὸ τῆς παροχῆς σὲ μιὰ θέση τοῦ δικτύου καὶ φαίνεται ὅτι ἀποτελεῖ ἀρκετὰ βασίμη παραδοχὴ γιὰ τὸν τρόπο λειτουργίας δικτύου με ελεύθερη ζήτηση. Βέβαια ὁ R. Clement τὸ 1966 πρότεινε καὶ τὸ «δεύτερο τύπο», ποὺ βασίζεται στὴ στοχαστικὴ ἐξέταση τῆς λειτουργίας τοῦ δικτύου τὴν ὁποία δέχεται ὅτι ἀκολουθεῖ ἀνέλιξη γεννήσεως καὶ θανάτου. Γι' αὐτὴ τὴν παραδοχὴ ἔχουν ἐκφραστεῖ διάφορες ἀπόψεις καὶ κυρίως ἐπιφυλάξεις γιὰ τὴ σκοπιμότητα ἐφαρμογῆς τέτοιων στοχαστικοῦ μοντέλου σὲ ἀρδευτικὰ δίκτυα.

Ὁ πρῶτος τύπος τοῦ R. Clement δεχόμεστε ὅτι μᾶς δίνει ἀρκετὰ ἱκανοποιητικὲς πληροφορίες γιὰ τὲς ζητούμενες παροχὲς σὲ μιὰ θέση τοῦ δικτύου. Με βάση λοιπὸν αὐτὴ τὴ σχέση ἐρευνηθῆκε στὴν πιὸ πάνω [4] ἐργασία μᾶς, ἡ κατανομὴ τῆς ἀπώλειας φορτίου σὲ τυχαία διαδρομὴ τοῦ νεροῦ — ἢ ὁποία ὀνομάζεται «γραμμὴ μεταφορᾶς» — σὲ ἓνα ἀκτινωτὸ σωληνωτὸ ὑπὸ πίεση δίκτυο. Με τὴν ἔρευνα προσδιορίστηκαν κατάλληλα μεγέθη με διαστάσεις παροχῆς τὰ ὁποῖα πολὺ ἀπλά καὶ εὐκόλα ὑπολογίζονται σὲ κάθε θέση ἑνὸς ἀκτινωτοῦ δικτύου καὶ τὰ ὁποῖα ὀνομάστηκαν «ιδεατὲς παροχὲς». Οἱ ιδεατὲς αὐτὲς παροχὲς ἐφαρμολόμενες γιὰ μιὰ ὀρισμένη ἀπαίτηση σὲ ποιότητα λειτουργίας φ , δίνουν με μεγάλη προσέγγιση ἐκείνες τὲς ἀπώλειες φορτίου κατὰ μῆκος τῆς ἐξεταζόμενης γραμμῆς μεταφορᾶς, οἱ ὁποῖες ἀντιστοιχοῦν στὴν ἐπιθυμητὴ τιμὴ τῆς φ .

Οἱ σχέσεις ποὺ δίνουν τὲς τιμὲς τῶν ἀπωλειῶν φορτίου καὶ τῶν ιδεατῶν παροχῶν εἶναι οἱ ἑξῆς:

$$h = \sum K_i Q_i^2$$

ὅπου h = Ἡ ἀπώλεια κατὰ μῆκος μιᾶς γραμμῆς μεταφορᾶς ἢ διαδρομῆς τοῦ νεροῦ.

K_i = Συντελεστὴς ποὺ ἐξαρτεῖται ἀπὸ τὴ διάμετρο, τὸ μῆκος καὶ τὸ συντελεστὴ τραχύτητας τοῦ σωλήνα.

α = Ἀριθμητικὸς ἐκθέτης ποὺ συνήθως βρίσκεται ἀνάμεσα στὲς τιμὲς περίπου 1,76 ἕως 2,00

Q_i = Ἰδεατὴ παροχὴ στὴ θέση (ἢ τμήμα) i τῆς γραμμῆς μεταφορᾶς τῆς ὁποίας ἡ τιμὴ βρέθηκε.

$$Q_i = \left[\mu_i^2 + \frac{\alpha(\alpha-1)}{2} \mu_i^{\alpha-2} \sigma_i^2 + \alpha \cdot e \cdot \mu_i^{\alpha-1} \cdot \sigma_i \right]^{1/\alpha}$$

* Διπλωματοῦχος Πολιτικὸς Μηχανικὸς Ε.Μ.Π. 1955. Ἐργάστηκε στὴν ορεινὴ περιοχή Μαγνησίας, σὲ στρατιωτικὰ ἔργα, στὴ

μηχανικὴ καλλιέργεια τοῦ Ὑπουργείου Γεωργίας καὶ τὴν Τ.Υ.Δ.Κ. Καρδίτσας. Ἀπὸ τὸ 1961 εἶναι μελετητὴς ὑδραυλικῶν ἔργων.

και $\epsilon =$ τυποποιημένη τυχαία μεταβλητή κανονικής κατανομής (0,1).

Για τις εφαρμογές βέβαια αποδείχθηκε [4] ότι αρκεί η εφαρμογή των εξής ιδεατών παροχών, οποιαδήποτε σχέση γραμμικών απωλειών και αν εφαρμόζουμε :

$$Q_i = (\mu_i^2 + \sigma_i^2 + 2 \cdot \epsilon \cdot \mu_i \cdot \sigma_i)^{1/2} = \mu_i (1 + C_{vi}^2 + 2 \cdot \epsilon \cdot C_{vi})^{1/2}$$

όπου C_{vi} ο συντελεστής μεταβολής των παροχών = σ_i / μ_i .

Ο όρος C_{vi}^2 μπορεί να παραλείπεται μάλιστα στις εφαρμογές γιατί η παράλειψή του υποτιμά πολύ λίγο τις απώλειες.

Με τις πιο πάνω σχέσεις το πρόβλημα των άκτινωτών υπό πίεση δικτύων με ελεύθερη ζήτηση λύθηκε σε ότι αφορά την εύρεση των απωλειών φορτίου με όριση στάθμη ποιότητας λειτουργίας. Βέβαια οι τιμές των ιδεατών παροχών που βρέθηκαν για τα άκτινωτά δίκτυα δεν εφαρμόζονται σε κλειστά κυκλοφοριακά τα οποία παρουσιάζουν ιδιομορφία στον τρόπο λειτουργίας τους.

Το πρόβλημα των κλειστών υπό πίεση κυκλοφοριακών δικτύων άρδευσεως που λειτουργούν με ελεύθερη ζήτηση δεν έχει λυθεί μέχρι τώρα με κάποιο αιτιοκρατικό ή γενικό τρόπο, παρά μόνο στις περιπτώσεις που η ποιότητα λειτουργίας λαμβάνεται $\varphi = 100\%$ δηλαδή όλα τα στόμια είναι ανοιχτά, με τη γνωστή μέθοδο του H. Cross [1,5]. Η λύση τέτοιων προβλημάτων είναι δυνατή και πραγματοποιείται μόνο με κατάλληλη εξομοίωση της λειτουργίας κάθε συγκεκριμένης περιπτώσεως κλειστού δικτύου. Στην περίπτωση αυτή απ' ότι έχουμε υπόψη μας λαμβάνεται σαν κριτήριο καθορισμού της ποιότητας λειτουργίας το κριτήριο της απώλειας φορτίου, που θεωρήθηκε και γενικότερα σαν σωστό στην έρευνα [4] που έγινε για τα άκτινωτά δίκτυα.

Είναι φανερό πάντως ότι σε περιπτώσεις περισσοτέρων του ενός βρόχου ο όγκος των υπολογισμών με ηλεκτρονικό υπολογιστή είναι πάρα πολύ μεγάλος ιδίως όταν πρέπει να γίνει έρευνα και για τη βελτιστοποίηση του δικτύου.

Στην παρούσα εργασία αντιμετωπίζεται καταρχή η περίπτωση ενός βρόχου και λύνεται το πρόβλημά του. Η λύση του προβλήματος βασίζεται στην έρευνα [4] που έγινε για τα άκτινωτά δίκτυα και σε όρισμένες συμπληρωματικές σκέψεις και υπολογισμούς. Έτσι με τον ίδιο τρόπο καθορίζονται πάλι «ιδεατές παροχές σχεδιασμού» και υποδεικνύεται ένας κατάλληλος τρόπος για την εφαρμογή τους. Τα αποτελέσματα που δίνει η προτεινόμενη μέθοδος ελέγχονται σε ένα συγκεκριμένο παράδειγμα με τη μέθοδο της εξομοίωσης και αποδεικνύονται πλήρως ικανοποιητικά.

Η εφαρμογή των «ιδεατών παροχών» είναι απλούστατη και απαλλάσσει το μηχανικό από την επίτευξη ενός προγράμματος υπολογισμών για να βρει τη λύση με τη μέθοδο της εξομοίωσης.

Το θέμα όμως δεν είναι μόνο η μείωση του όγκου των υπολογισμών αλλά και η όρθη αντιμετώπιση τέτοιων προβλημάτων. Πράγματι με τις προτεινόμενες «ιδεατές παροχές» μετατρέπεται και εδώ, όπως και στα άκτινωτά δίκτυα, ένα πιθανοθεωρητικό πρόβλημα σε αιτιοκρατικό και αποφεύγεται ο υπερσχεδιασμός ή ακόμα και ο υποσχεδιασμός των δικτύων, που όπως είναι γνωστό είναι αναπόφευκτος όταν εφαρμόσθουν παροχές σχεδιασμού κατά οποιαδήποτε εμπειρική διαδικασία. Μάλιστα πρέπει σχετικά να τονισθεί ότι ίσως πολλές φορές σχεδιάζοντας σωστά να προκύπτει ότι ένα κλειστό δίκτυο τεγνητής βροχής με ελεύθερη ζήτηση είναι οικονομικότερο από ένα αντίστοιχο κλειστό δίκτυο που λειτουργεί με πρόγραμμα, ενώ θεωρώντας τις εφαρμόζόμενες εμπειρικές παροχές σχεδιασμού να προκύπτει αντίθετο συμπέρασμα.

Για την εφαρμογή της προτεινόμενης μεθόδου με «ιδεατές παροχές σχεδιασμού» τελικά προσδιορίζεται σε κάθε βρόχο και ένα σημείο ισορροπίας των άριστερα και δεξιά του πιεζομετρικών γραμμών που το ονομάζουμε «ιδεατό σημείο διακοπής».

Η εφαρμογή της προτεινόμενης μεθόδου σε περισσότερους βρόχους είναι δυνατή αλλά όπως ούτως ή άλλως με σημαντική αύξηση των δυσκολιών από πλευράς όγκου υπολογισμών.

Πρέπει πάντως να αναφερθεί ότι με την εφαρμογή τέτοιων ιδεατών παροχών διευκολύνεται πάρα πολύ και η διαδικασία της βελτιστοποίησης των κλειστών δικτύων. Στα κεφάλαια

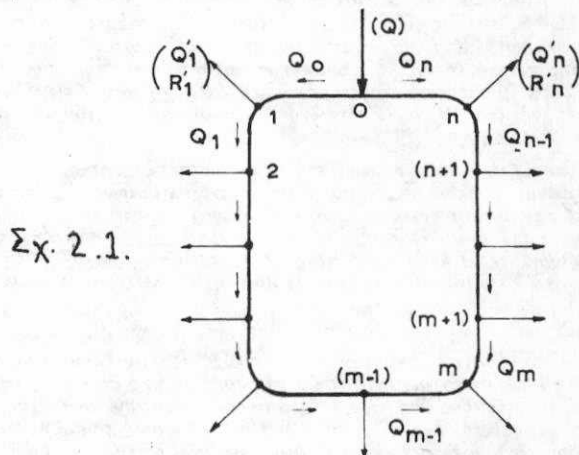
3 και 4 υποδεικνύονται άκροθιγώς μερικοί τρόποι που μπορούν να χρησιμοποιηθούν για την εφαρμογή της μεθόδου σε περισσότερους βρόχους, τόσο για τον έλεγχο βροχαιτού δικτύου με γνωστές διαμέτρους, όσο και για τον καθορισμό βέλτιστου συνδυασμού διαμέτρων. Αυτό όμως είναι θέμα που δεν εντάσσεται στους στόχους της παρούσας εργασίας αφού εξάλλου αποτελεί ένα πρόβλημα σε όλες τις περιπτώσεις που ζητείται η βελτιστοποίηση κλειστών κυκλοφοριακών δικτύων στα όποια είναι καθορισμένες κατά αιτιοκρατικό τρόπο οι παροχές.

2. Η κατανομή της απώλειας φορτίου σε ένα κυκλοφοριακό βρόχο

2.1. Τροφοδοσία του βρόχου σε ένα σημείο

Θεωρείται το σωληνωτό κλειστό δίκτυο του σχήματος 2.1. Στο δίκτυο αυτό θεωρούνται γνωστά οι διάμετροι και τα μήκη των τμημάτων (0-1), (1-2)...(n-0) που χαρακτηρίζονται σαν $D_0, D_1, \dots, D_{m-1}, \dots, D_n$ και l_0, l_1, \dots, l_n όπως επίσης ο βαθμός ελευθερίας του δικτύου.

Επίσης είναι γνωστός ο αριθμός των στοιμίων υδροληψίας που εξυπηρετεί κάθε πλευρική παροχή στους κόμβους 1, 2, ..., m, ..., n.



Επομένως είναι γνωστές και οι μέγιστες πλευρικές παροχές που αντίστοιχούν σε κάποια δεδομένη ποιότητα λειτουργίας φ . Τον αριθμό των πλευρικών υδροληψιών τον ονομάζουμε $R'_1, R'_2, \dots, R'_m, \dots, R'_n$ και τις πλευρικές παροχές $Q'_1, Q'_2, \dots, Q'_m, \dots, Q'_n$. Τα αντίστοιχα μεγέθη R και Q επί των τμημάτων του βρόχου παίρνουν σαν δείκτη τον αριθμό του κόμβου που βρίσκεται στην αρχή δηλαδή $R_0, R_1, \dots, R_{m-1}, \dots, R_n$ και αντίστοιχα $Q_0, Q_1, \dots, Q_{m-1}, Q_m, \dots, Q_n$. Ο συνολικός αριθμός των υδροληψιών χαρακτηρίζεται με το R και σε κάποιο σημείο του βρόχου όπου πραγματοποιείται διαχωρισμός άριστερα και δεξιά των υδροληψιών αυτών ο χαρακτηρισμός γίνεται αντίστοιχα με R_a και R_s . Έτσι οι ανοιχτές υδροληψίες χαρακτηρίζονται με το N το οποίο παίρνει αντίστοιχο δείκτη με το R. Η επιδίωξη και εδώ είναι να βρεθεί η απώλεια φορτίου που αντιστοιχεί σε κάθε στάθμη πιθανότητας φ (ποιότητας λειτουργίας) και ειδικότερα στην περιοχή που ενδιαφέρει τα άρδευτικά δίκτυα ($\varphi = 0,90$ έως $0,95$ συνήθως) δηλαδή ουσιαστικά να βρεθεί η κατανομή της.

Παρατηρείται σχετικά ότι για κάθε συνδυασμό ανοιχτών υδροληψιών στο βρόχο υπάρχει πάντοτε ένα σημείο (π.χ. στο M ισορροπίας των πιεζομετρικών γραμμών, δηλαδή ένα σημείο το οποίο χωρίζει το σύνολο των υδροληψιών R και N σε R_a, N_a και R_s, N_s αντίστοιχα άριστερα και δεξιά του και όπου οι απώλειες φορτίου $h_{\text{άριστερα}} = h_a$ και $h_{\text{δεξιά}} = h_s$ είναι ίσες.

Η απώλεια στο βρόχο $h_{\text{βρ}} = h$ θα είναι $h = h_a = h_s$ πάντοτε και επειδή θα έχει πιθανοθεωρητικό χαρακτήρα μπορούμε να την εκφράσουμε σαν :

$$h = m + u.S \quad (1)$$

όπου m = μέση τιμή της απώλειας φορτίου
S = τυπική απόκλιση απώλειας φορτίου
u = τυποποιημένη τιμή απώλειας φορτίου

Έννοείται βέβαια ότι για κάθε συγκεκριμένο συνδυασμό άνοιχτών ύδραυλικών υπάρχει μια απώλεια $h = h_f$ που αντιστοιχεί σε κάποια τιμή της $u = u(\varphi)$. Ο αντίστοιχος διαχωρισμός των N σε $R_\alpha + R_\delta = R$ και $N_\alpha + N_\delta = N$ δηλαδή σε άριστερα και δεξιά ύδραυλικές ώστε να ισχύει η σχέση :

$$h = h_\alpha = h_\delta \quad (2)$$

Καθορίζει ένα κλειστό σημείο διακοπής» δηλαδή ένα σημείο όπου στο συγκεκριμένο μόνο συνδυασμό μπορούμε ιδεατά να διακόψουμε το δίκτυο σε δύο άκτινωτά άριστερα και δεξιά χωρίς να αλλάξουν τα υδραυλικά χαρακτηριστικά του (που θα είναι τα χαρακτηριστικά του κλειστού κυκλοφοριακού για τον ίδιο βέβαια συνδυασμό άνοιχτων ύδραυλικών). Έξυπακούεται ότι στο ιδεατό αυτό σημείο αλλάζουν φορά οι παροχές και κλίση οι πιεζομετρικές γραμμές. Οι αριθμοί R και N δεν είναι αναγκαίο να είναι άκεραιοι γιατί μια ύδραυλικά μπορεί να τροποδοτείται και από τις δύο κατευθύνσεις δηλαδή από άριστερα και από δεξιά.

Όπως είναι φανερό το ιδεατό αυτό σημείο διακοπής αλλάζει συνεχώς θέση καθώς ο αριθμός R_α ή R_δ και αντίστοιχα N_α ή N_δ των άνοιχτων ύδραυλικών συνεχώς μεταβάλλεται στους διάφορους δυνατούς συνδυασμούς που πραγματοποιούνται κατά τη λειτουργία τέτοιων δικτύων τεχνητής βροχής. Πάντοτε όμως ισχύει η πιο πάνω σχέση (2) καθώς και οι σχέσεις (2α) που αναγράφονται στην εισαγωγή του Α' μέρους, δηλαδή :

$$\begin{aligned} Q &= \mu + \varepsilon\sigma & (2\alpha) \\ \mu &= R \cdot p \cdot q_0 \\ \sigma &= [R \cdot p(1-p)]^{1/2} q_0 \\ \varepsilon &= (\mu = 0, \sigma = 1) \end{aligned}$$

Έπανερχόμενοι στην έκφραση της απώλειας φορτίου στο βρόχο με τη σχέση (1) παρατηρούμε ότι οι απώλειες φορτίου άριστερα και δεξιά σε κάθε συνδυασμό μπορεί να ίσες κάθε φορά, αλλά η έκφρασή τους με σχέσεις αντίστοιχες προς τη σχέση (1) θα είναι διαφορετικές δηλαδή :

$$h_\alpha = m_\alpha + u_\alpha \cdot S_\alpha \quad (3)$$

$$\text{και } h_\delta = m_\delta + u_\delta \cdot S_\delta \quad (3\alpha)$$

Θα πρέπει εδώ να αναφερθεί ότι οι αντίστοιχες εκφράσεις των h_α και h_δ λαμβάνοντας υπόψη τις παροχές θα είναι :

$$h_\alpha = \sum K_i (\mu_i + \varepsilon_\alpha \sigma_i)^\alpha \quad (4)$$

$$\text{και } h_\delta = \sum K_j (\mu_j + \varepsilon_\delta \sigma_j)^\alpha \quad (4\alpha)$$

όπου ο δείκτης i δηλώνει τα άριστερά του ιδεατού σημείου διακοπής τμήματα του βρόχου, π.χ. 0,1... (m-1) και ο δείκτης j τα δεξιά τμήματα m,... n

Οι τυχαίες μεταβλητές ε_α και ε_δ είναι υποτιποιημένες κανονικής κατανομής μια και δεχόμαστε ότι όλες οι πλευρικές παροχές είναι κανονικής κατανομής ($R' \geq 10$). Τα μεγέθη βέβαια μ και σ είναι μεταβλητά και εξαρτιούνται από τους μεταβλητούς αριθμούς R_α και R_δ . Αυτό σημαίνει ότι οι σχέσεις (2α) θα πρέπει να ισχύουν με μεταβλητό πλήθος στοίμων R . Πράγματι για κάθε συγκεκριμένη τιμή του R υπάρχει ένα υποσύνολο τιμών της Q που ακολουθεί την κανονική κατανομή, ενώ για μεταβαλλόμενη τιμή του R σ' ένα συγκεκριμένο διάστημα τιμών, υπάρχουν πολλά τέτοια υποσύνολα τιμών της Q κανονικής κατανομής. Πάντως τελικά η έκφραση αυτής της παροχής θα έχει πάντοτε τη μορφή της σχέσεως (2α) και επομένως οι απώλειες μπορούν να εκφραστούν με τις σχέσεις (4) και (4α) όπου όμως τα μεγέθη μ και σ μεταβάλλονται σε συνάρτηση με το R .

Για να δούμε καλύτερα την εφαρμογή των σχέσεων (2α) στο βρόχο διατυπώνουμε τις σχέσεις :

Στην κεφαλή του βρόχου $Q = \mu + \varepsilon\sigma$ ($R = \text{σταθερό}$)
 Στο άριστερά τμήμα της κεφαλής $Q_\alpha = \mu_\alpha + \varepsilon_\alpha \sigma_\alpha$ ($R_\alpha = \text{μεταβλητό}$)

Στο δεξιά τμήμα της κεφαλής $Q_\delta = \mu_\delta + \varepsilon_\delta \sigma_\delta$ ($R_\delta = R - R_\alpha = \text{μεταβλητό}$)

όπου $\mu_\alpha = R_\alpha \cdot p \cdot q_0$, $\mu_\delta = (R - R_\alpha) p q_0$

$$\sigma_\alpha = [R_\alpha p(1-p)]^{1/2} q_0, \sigma_\delta = [(R - R_\alpha) p(1-p)]^{1/2} q_0$$

Έτσι προκύπτει ότι [2,3] :

$$Q_\alpha + Q_\delta = (\mu_\alpha + \mu_\delta) + \varepsilon \cdot (\sigma_\alpha^2 + \sigma_\delta^2)^{1/2} = (R p q_0) + [R p(1-p)]^{1/2} q_0 = \mu + \varepsilon \sigma = Q$$

Βλέπουμε δηλαδή ότι πάντοτε οι παροχές Q_α και Q_δ άθροισμένες δίνουν την παροχή Q που αντιστοιχεί σε όλο το βρόχο και η οποία ακολουθεί την κανονική κατανομή. Στη συνέχεια δεχόμαστε όρισμένα αποτελέσματα της έρευνας που έγινε στα άκτινωτά δίκτυα [4] όπως π.χ. της έκφρασεως των απολειών φορτίου κατά μήκος μιας γραμμής μεταφοράς. Η μόνη δυσκολία είναι ότι για κάθε όρισμένη τιμή του R υπάρχει ένα υποσύνολο τιμών της h και επομένως για τις διάφορες τιμές της R υπάρχουν πολλά τέτοια υποσύνολα της h που το καθένα τους ακολουθεί την κανονική κατανομή. Έτσι, το πρόβλημα γίνεται δυσχερέστερο, γιατί πιο κάτω με τις όριακές συνθήκες που προκύπτουν από την ισότητα των απωλειών στην άριστερη και δεξιά διαδρομή, βρίσκουμε εκείνες τις τιμές των R , φ , Q και h που ικανοποιούν τις δεσμεύσεις του προβλήματος.

Αυτή εξάλλου είναι και η δυσχέρεια στην επίλυση τέτοιων προβλημάτων που αναφέρονται σε κλειστούς βρόχους και ο στόχος αυτής της εργασίας είναι να βρει ένα κατάλληλο τρόπο για την απλή και γρήγορη λύση τους.

Ανατρέχοντας επομένως στα κεφάλαια 3,4,5 της έρευνας που έγινε για τα άκτινωτά δίκτυα [4] μπορούμε να δεχθούμε ότι οι σχέσεις (4) και (4α) με ικανοποιητική προσέγγιση μετατρέπονται στις σχέσεις :

$$h_\alpha = \sum_{i=0}^{i=(m-1)} \sum K_i (\mu_i^2 + \sigma_i^2) + \varepsilon_\alpha (2 \sum_{i=1}^{m-1} K_i \mu_i \sigma_i) \quad (5)$$

$$h_\delta = \sum_{j=m}^{j=n} \sum K_j (\mu_j^2 + \sigma_j^2) + \varepsilon_\delta (2 \sum_{j=m}^n K_j \mu_j \sigma_j) \quad (5\alpha)$$

ή γενικότερα

$$h_\alpha = \sum K_i (\mu_i^\alpha + \frac{\alpha(\alpha-1)}{2} \mu_i^{\alpha-2} \sigma_i^2) + \varepsilon_\alpha (\sum K_i \mu_i^{\alpha-1} \sigma_i) \quad (5\beta)$$

$$\text{και } h_\delta = \sum K_j (\mu_j^\alpha + \frac{\alpha(\alpha-1)}{2} \mu_j^{\alpha-2} \sigma_j^2) + \varepsilon_\delta (\sum K_j \mu_j^{\alpha-1} \sigma_j) \quad (5\gamma)$$

Οι σχέσεις βέβαια (5β) και (5γ) με πολύ ικανοποιητική προσέγγιση μπορούν να αντικατασταθούν από τις σχέσεις (5) και (5α) όπως αποδείχτηκε [4], γιατί από εδώ και πέρα θα χρησιμοποιούμε αυτές σαν απλούστερες. Αν βέβαια θέλουμε μεγαλύτερη ακρίβεια μπορούμε να ανατρέξουμε ξανά τις σχέσεις (5β) και (5γ).

Οι σχέσεις (5) και (5α) είναι ουσιαστικά η έκφραση των (3) και (3α) μετά τον καθορισμό των παραμέτρων m , S και u .

Παρατηρείται ότι η πρόσθεση των (5) και (5α) μς δίνει την έκφραση της απώλειας φορτίου στο βρόχο δηλαδή :

$$h = \frac{1}{2} [\sum K_i (\mu_i^2 + \sigma_i^2) + \sum K_j (\mu_j^2 + \sigma_j^2)] + \varepsilon_\alpha (\sum K_i \mu_i \sigma_i) + \varepsilon_\delta (\sum K_j \mu_j \sigma_j) \quad (6)$$

Από την (6) βρίσκουμε τη μέση τιμή m και την απόκλιση S της απώλειας φορτίου.

$$m = E(h) = \frac{1}{2} [\sum K_i (\mu_i^2 + \sigma_i^2) + \sum K_j (\mu_j^2 + \sigma_j^2) + (\sum K_i \mu_i \sigma_i) E(\varepsilon_\alpha) + (\sum K_j \mu_j \sigma_j) \cdot E(\varepsilon_\delta)]$$

και επειδή $E(\varepsilon_\alpha) = E(\varepsilon_\delta) = 0$ έχουμε

$$m = \frac{1}{2} [\sum K_i (\mu_i^2 + \sigma_i^2) + \sum K_j (\mu_j^2 + \sigma_j^2)] \quad (7)$$

Για τη διακύμανση της απώλειας φορτίου θα έχουμε :

$$Varh = S^2 = \sum Varh_k + 2 \sum cov(h_k, h_{k'})$$

το k διατρέχει όλες τις τιμές των i και j δηλαδή από 0 έως n .

Όπως αποδείχτηκε και στο κεφάλαιο 3 της έρευνας [4] για τα άκτινωτά δίκτυα.

$$\text{Var}h = S^2 = (\sum K_i \mu_i \sigma_i)^2 \text{Var}(\epsilon_\alpha) + (\sum K_j \mu_j \sigma_j)^2 \text{Var}(\epsilon_\beta) + 2 \sum \text{Cov}(h_x, h_x')$$

Ο όρος όμως $\sum \text{Cov}(h_x, h_x')$ όπου τα x, x' ανήκουν σε αντίθετη φορά ροής του νερού (δηλαδή αν $x = i$ και $x' = j$) είναι μη δέν επειδή τα h_x και h_x' είναι ανεξάρτητες μεταβλητές, ενώ στις άλλες περιπτώσεις πάλι είναι μηδέν όπως αναλυτικά αποδείχτηκε στο κεφάλαιο 3[4] της σχετικής έρευνας για τα άκτινωτά και έτσι :

$$\text{Var}h = S^2 = (\sum K_i \mu_i \sigma_i)^2 + (\sum K_j \mu_j \sigma_j)^2$$

$$\eta \quad S = \frac{1}{2} [(2 \sum K_i \mu_i \sigma_i)^2 + (2 \sum K_j \mu_j \sigma_j)^2]^{1/2} \quad (8)$$

Βέβαια στις ίδιες σχέσεις (7) και (8) θα μπορούσαμε να καταλήξουμε άμεσα αν λαμβάναμε υπόψη ότι [2,3] όταν οι X_i ($i = 1, 2, \dots, n$) είναι ανεξάρτητες τυχαίες μεταβλητές που έχουν κανονικές κατανομές τότε ο γραμμικός συνδυασμός

$$y = \sum_{i=1}^n \alpha_i X_i \text{ έχει πάλι κανονική κατανομή με μέση τιμή}$$

$$\mu = E(y) = \sum_{i=1}^n \alpha_i E(X_i) \text{ και διακύμανση } S^2 = \text{Var}y = \alpha^2 \text{Var}(X_i).$$

Αυτό όμως σημαίνει ότι στη σχέση (1) η τιμή

$$u = \epsilon \quad (9)$$

δηλαδή μπορούμε να δεχθούμε με τις παραδοχές που έχουμε κάνει στα άκτινωτά δίκτυα ότι η απώλεια φορτίου έχει την κανονική κατανομή. Φυσικά ισχύουν όσα γράφτηκαν [4] στα άκτινωτά δίκτυα για το βαθμό προσεγγίσεως.

Η (8) μπορεί να γραφτεί ως εξής :

$$S = \frac{1}{2} \cdot \rho \cdot [(\sum K_i \mu_i \sigma_i) + (\sum K_j \mu_j \sigma_j)] \quad (10)$$

$$\text{όπου } \rho = \left[\frac{(\sum K_i \mu_i \sigma_i)^2 + (\sum K_j \mu_j \sigma_j)^2}{(\sum K_i \mu_i \sigma_i + \sum K_j \mu_j \sigma_j)^2} \right]^{1/2} \quad (11)$$

Το $0,707 \leq \rho < 1$, και συνήθως μπορεί να λαμβάνεται μία τιμή περί το 0,75 περίπου. Εφόσον ληφθεί μεγαλύτερη τιμή θα προκύψει βέβαια μια αύξηση της απώλειας h που όπως αποδείχτηκε στα άκτινωτά [4] είναι μικρή. Πράγματι ο όρος $(2 \sum K_i \mu_i \sigma_i)$ είναι πάντοτε μικρότερος του $\frac{1}{2} \sum K_i (\mu_i^2 + \sigma_i^2)$ και επομένως η επαύξηση του όρου S κατά ένα όρισμένο ποσοστό αυξάνει το συνολικό h κατά ποσοστό μικρότερο του $\frac{1}{2}$ της αύξησης. Έτσι υπολογίζεται ότι και στη δυσμενέστερη περίπτωση αυτή η αύξηση δεν μπορεί να περάσει το 8 έως 10% της συνολικής απώλειας h . Πάντως αν θέλουμε μπορούμε με τη σχέση (11) να υπολογίζουμε μετά την εξαγωγή των αποτελεσμάτων το ρ και να το συγκρίνουμε με την τιμή που πήραμε προκαταβολικά στη σχέση (10), ώστε αν υπάρχει μεγάλη διαφορά και θέλουμε μεγαλύτερη ακρίβεια να επαναλάβουμε τους υπολογισμούς όπως θα δούμε στο σχετικό παράδειγμα πιο κάτω.

Τελικά καταλήγουμε σε μια έκφραση της απώλειας στο βρόχο.

$$h = \frac{1}{2} [\sum K_i (\mu_i^2 + \sigma_i^2) + \sum K_j (\mu_j^2 + \sigma_j^2)] + \epsilon [\rho (\sum K_i \mu_i \sigma_i + \sum K_j \mu_j \sigma_j)] \quad (12)$$

όπου $i = 0, 1, \dots, (m-1)$, $j = m, \dots, n$,

και οι τιμές των R_α, R_β όπως και οι αντίστοιχες τιμές N_α, N_β είναι μεταβλητές.

$0,707 \leq \rho < 1$ και συνήθως περί την τιμή 0,75

Παραμένει όμως η δυσκολία καθορισμού συγκεκριμένων τιμών μ_i, σ_i και μ_j, σ_j μια και το πλήθος R_α, R_β δεν είναι καθορισμένο.

Η λύση στο σημείο αυτό μπορεί να δοθεί ως εξής :

Η σχέση (12) γράφεται :

$$2h = \sum K_i [\mu_i^2 + \sigma_i^2 + \epsilon \cdot (2\rho \mu_i \sigma_i)] + \sum K_j [\mu_j^2 + \sigma_j^2 + \epsilon \cdot (2\rho \mu_j \sigma_j)] \quad (13)$$

Από τη σχέση όμως (13) γίνεται αντιληπτό ότι αν βρούμε κάποιο ιδεατό σημείο διαχωρισμού των ύδροληψιών R_α άριστερά και R_β δεξιά τέτοιο ώστε βάζοντας ιδεατές παροχές στα άριστερά τμήματα :

$$Q_j = [\mu_j^2 + \sigma_j^2 + \epsilon(2\rho \mu_j \sigma_j)]^{1/2} \quad (14)$$

$$\text{και στα δεξιά } Q_j = [\mu_j^2 + \sigma_j^2 + \epsilon(2\rho \mu_j \sigma_j)]^{1/2} \quad (14a)$$

που προκύπτουν όμως για την ίδια στάθμη πιθανότητας φ (δηλαδή $\epsilon_\alpha = \epsilon_\beta = \epsilon$) να είναι οι απώλειες φορτίου άριστερά και δεξιά ίσες δηλαδή :

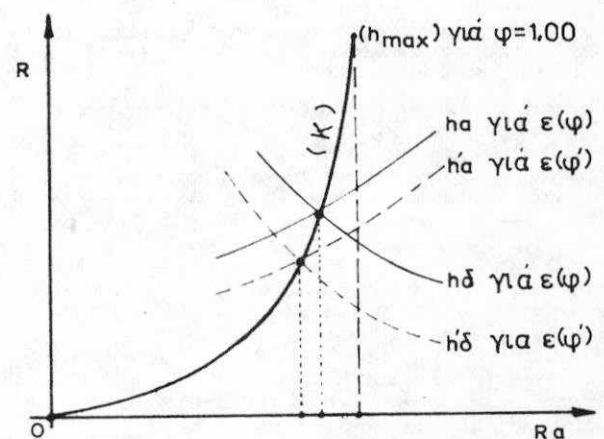
$$\eta \quad \sum K_i [\mu_i^2 + \sigma_i^2 + \epsilon(2\rho \mu_i \sigma_i)] h_\alpha = h_\beta = \sum K_j [\mu_j^2 + \sigma_j^2 + \epsilon(2\rho \mu_j \sigma_j)] \quad (15)$$

Έτσι όταν επιτύχουμε να ισχύει η σχέση (15) έχουμε λύσει το πρόβλημα αφού πλέον από αυτή τη σχέση μπορούμε αντίστροφα να πάρουμε τη σχέση (12).

Από τη σχέση όμως (15) είναι εύκολο να προσδιορίζουμε κάθε φορά για την επιθυμητή ποιότητα λειτουργίας είτε γραφικά είτε υπολογιστικά ένα ιδεατό σημείο τέτοιο ώστε $h = h_\alpha = h_\beta$ όπως φαίνεται και στο παραστατικό διάγραμμα για διάφορες τιμές του ϵ που αντιστοιχούν σε διάφορες τιμές της επιθυμητής ποιότητας λειτουργίας φ, φ' .

Με την εύρεση του ιδεατού σημείου για κάθε περίπτωση ο βρόχος χωρίζεται σε δυο άκτινωτά δίκτυα. Παρατηρείται σχετικά ότι σε καθένα από αυτά έχουμε με σταθερές τις R_α και R_β και διάφορες τιμές του ϵ , δηλαδή τις ϵ_α και ϵ_β πολλές τιμές των h_α και h_β που θα είναι ίσες. Όμως στη συγκεκριμένη θέση (R_α, R_β) στοιχείο των δειγματικού χώρου που περιέχει τις τιμές απώλειας φορτίου του βρόχου είναι μόνο εκείνο που περιέχει την τιμή $h = h_\alpha = h_\beta$, όπου $h_\alpha = h_\beta$ για το ίδιο $\epsilon = \epsilon(\varphi)$. Επίσης πρέπει να γίνει η παρατήρηση ότι εφόσον ο αριθμός $R < 10$ μπορούμε για τις ιδεατές παροχές να χρησιμοποιούμε τον πίνακα 6.1 του κεφαλαίου 6 της έρευνας που έγινε στα άκτινωτά [4]. Στο Διάγραμμα Δ2, τα σημεία τομής των καμπύλων (h_α, h_β), (h'_α, h'_β) κ.ο.κ. βρίσκονται επάνω σε καμπύλη (K) που περνάει προφανώς από την αρχή ($h = 0$) όταν $R_\alpha = 0$ και έχει μία μέγιστη τιμή h_{max} για κάποια τιμή του R_α που αντιστοιχεί σε $\varphi = 100\%$ (δηλαδή όταν όλα τα στόμια είναι ανοιχτά) και φυσικά είναι πολύ εύκολο να βρεθεί με την μέθοδο του H. Cross.

ΔΙΑΓΡΑΜΜΑ Δ2.



2.2. Η εξομοίωση της λειτουργίας ενός κλειστού βρόχου με μία τροφοδοσία

Για να επαληθεύσουμε τα συμπεράσματα του προηγούμενου κεφαλαίου 2 και τα αποτελέσματα που δίνουν οι εξισώσεις (12) και (15) δίδουμε το πιο κάτω παράδειγμα.

Στο παράδειγμα αυτό θεωρούμε ένα κλειστό κυκλοφοριακό δίκτυο που εξυπηρετεί 100 συνολικά στόμια ύδροληψίας στις θέσεις 1 έως 7 και τροφοδοτείται από μία ύδροληψία στη θέση 0.

Τα δεδομένα είναι :

$$\rho = \frac{1}{3}, \varphi_0 = 6,0 \lambda / \delta \lambda, R = R_1 + \dots + R_7 = 100,$$

$$K = 10,3n^2 D^{-10/3} \cdot I (n = 0,0115) \text{ και } h = KQ^2.$$

Τα υπόλοιπα στοιχεία, π.χ. μήκη l σε μέτρα, διαμέτροι D σε χιλιοστά, συντελεστές $K (m^{-5} \cdot sec)$ των τμημάτων του βρόχου, αναγράφονται επάνω στο σχήμα 2.2.

Τα αποτελέσματα για την απώλεια φορτίου από την εφαρμογή των εξισώσεων (12) και (15) για διάφορες τιμές του ϵ και R_α δίδονται στο διάγραμμα Δ2.2.

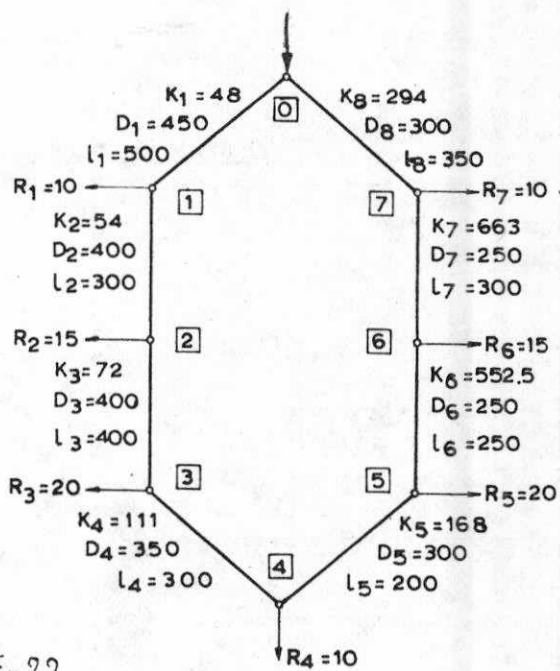
Για τον ίδιο βρόχο μάλιστα έγινε και μία εξομοίωση της λειτουργίας του για τριακόσιες (300) περιπτώσεις συνδυασμών ανοιχτών στομιών. Οι περιπτώσεις αυτές προέκυψαν από την εκτέλεση ενός πειράματος που έγινε με τρεις σφαίρες που οι δυο ήταν ξυθρές (άποτυχία = κλειστή υδροληψία) και η μία λευκή (έπιτυχία = ανοιχτή υδροληψία). Βέβαια θα μπορούσε για κάθε πλευρική παροχή στις θέσεις 1,2,...,7, μία και ο αριθμός των υδροληψιών $R_1, \dots, R_7 \geq 10$ να εφαρμοσθούν σε κάθε θέση παροχής που θα προέκυπταν από ένα πίνακα τυχαίων αριθμών τυποποιημένης κανονικής κατανομής. Προτιμήθηκε όμως τελικά ο τρόπος που προαναφέρθηκε της εφαρμογής μίας διωνυμικής κατανομής ώστε να μην υπάρχουν αποκλίσεις στις περιπτώσεις όπου $R < 10$. Πράγματι τέτοιες περιπτώσεις υπάρχουν αρκετές στους διάφορους συνδυασμούς από το λόγο του διαχωρισμού των υδροληψιών σε R_α και R_β άριστερά, και δεξιά, δηλαδή παρουσιάζονται στα τελευταία τμήματα των άριστερά και δεξιά διαδρομών.

Τα αποτελέσματα της εξομοίωσης είναι :

$$m = 2,52 \quad S = 0,78$$

Επίσης συγκριτικά στοιχεία που προκύπτουν από το διάγραμμα και την εξομοίωση είναι τα εξής :

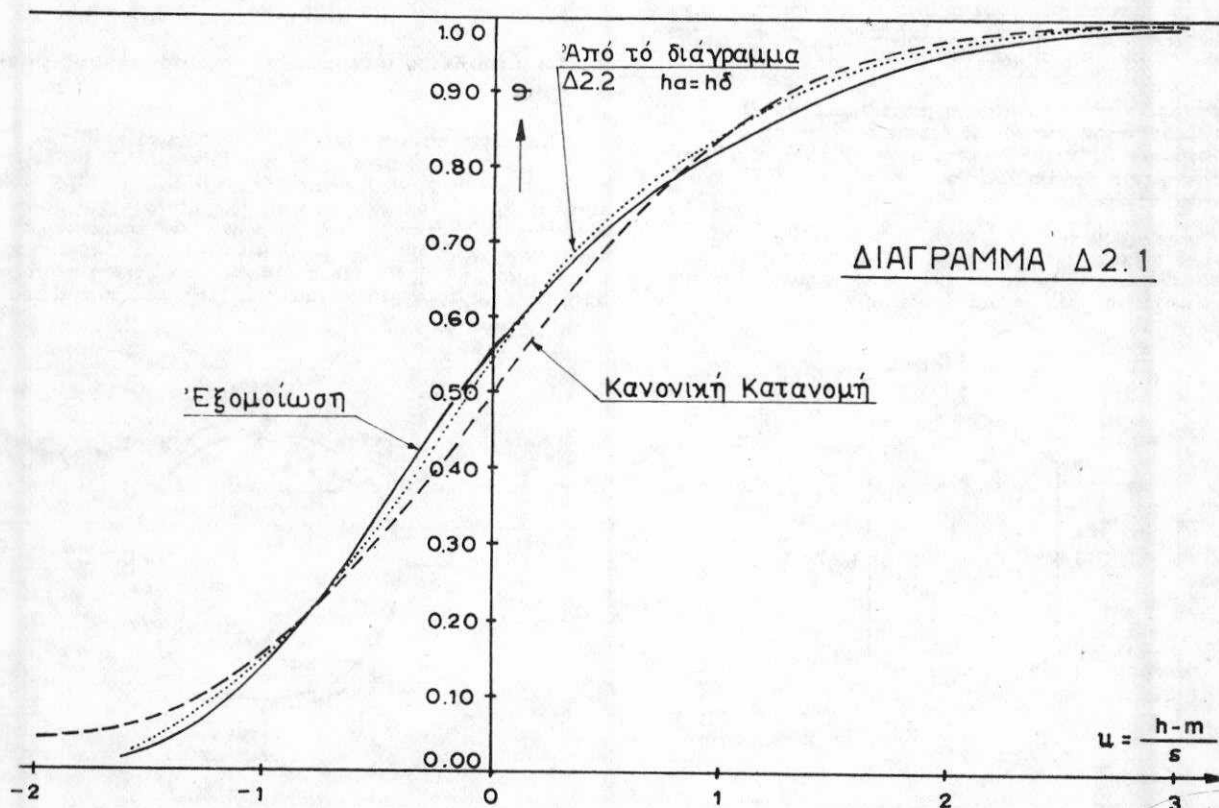
		Από το διάγραμμα	Από την εξομοίωση
Για $\varphi = 0,90$	και $R = 69,2$,	$h = 3,85 \mu.$	$h = 3,75 \mu.$
» $\varphi = 0,95$	» $R = 69,5$,	$h = 4,10 \mu.$	$h = 4,02 \mu.$
» $\varphi = 0,99$	» $R = 69,9$,	$h = 4,75 \mu.$	$h = 4,62 \mu.$

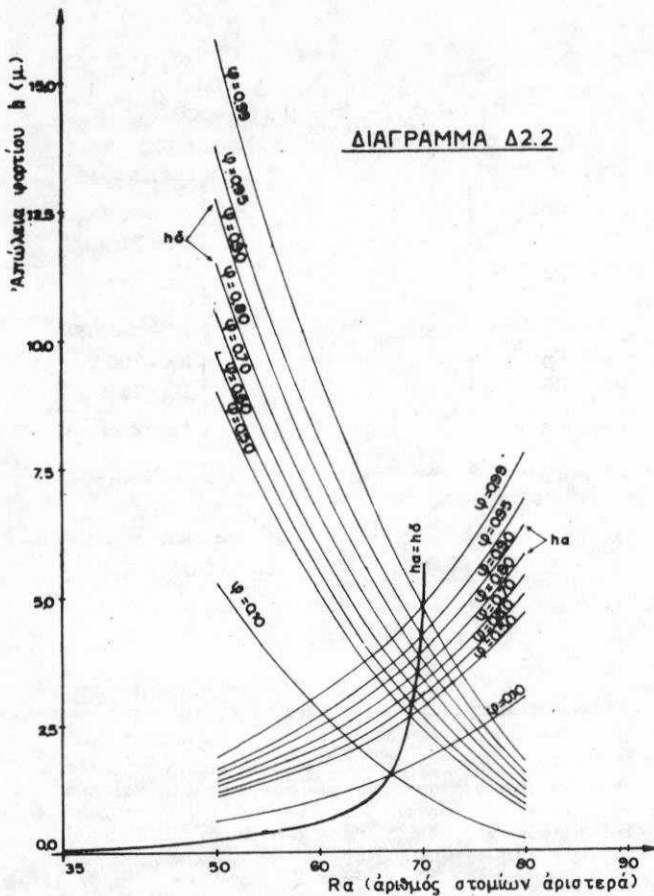


Σχ 2.2.

Δηλαδή παρατηρούμε ότι η προσέγγιση είναι πολύ ικανοποιητική.

Στη συνέχεια στο διάγραμμα Δ2.1 δίδουμε τα αποτελέσματα που προκύπτουν τόσο από την εξομοίωση όσο και από την εφαρμογή των σχέσεων (12) και (15) (δηλαδή των τιμών του διαγράμματος Δ2.2) και για σύγκριση δίδουμε και την καμπύλη της τυποποιημένης κανονικής κατανομής. Επίσης έγινε ένας έλεγχος της τιμής του ρ που δίνει η σχέση (11) και βρέθηκε στην περίπτωση που $\varphi = 0,95$ και $R = 69,5, \rho = 0,71$. Έτσι βλέπουμε ότι με τη λήψη του $\rho = 0,75$ έγινε ένας μικρός υπερσχεδιασμός που ανήλθε σε 1,0 έως 1,5% της συνολικής απώλειας φορτίου h . Από το διάγραμμα Δ.2.1





παρατηρούμε ότι στην περιοχή που πρακτικά ενδιαφέρει το μηχανικό (μεταξύ των τιμών $\phi = 0,90$ έως $0,95$ ή ακόμα και από $\phi = 0,80$ έως $0,99$) ή καμπύλη K δίδει πολύ μικρή διακύμανση του αριθμού R_α . Αυτό σημαίνει ότι μπορούμε για μία πρώτη εκτίμηση του αριθμού R_α να παίρνουμε μία τιμή του που αντιστοιχεί σ' ένα ϕ κοντινό στο διάστημα, π.χ. $\phi = 0,80$ έως $0,99$. Σαν τέτοια τιμή πάντως μπορούμε να δεχθούμε την τιμή που προκύπτει για $\phi = 1,00$ δηλαδή για όλα τα στόμια ανοιχτά.

Πράγματι εδώ στο συγκεκριμένο παράδειγμα αν δεχθούμε $R = N = 100$ προκύπτει για να έχουμε $h_\alpha = h_\beta$ ότι θα πρέπει να δεχθούμε $R_\alpha = 68,3$ οπότε $h = 22,75$ μ. που είναι και η μέγιστη τιμή της απώλειας φορτίου που μπορεί να πραγματοποιηθεί στο βρόχο.

Αν λοιπόν δεχθούμε μία κατ' αρχή τιμή, π.χ. $R'_\alpha = N'_\alpha = 68$ ή και 69 ή ακόμα και 70 αλλά πάντως κοντά στην τιμή που βρήκαμε, δεχόμενοι $R = N = 100$, τότε, εφαρμόζοντας τις ιδεατές παροχές, θα βρούμε μία διόρθωση

$$\Delta = \left(-\frac{1}{2}\right) \cdot \frac{\Sigma K_\alpha Q^\alpha - \Sigma K_\beta \cdot Q_\beta^\alpha}{\Sigma K_\alpha Q^{(\alpha-1)} + \Sigma K_\beta Q_\beta^{(\alpha-1)}} = \left(-\frac{1}{2}\right) \cdot \frac{(\Delta h)}{\Sigma K Q^{(\alpha-1)}} \quad (16)$$

Λαμβάνοντας όμως υπόψη ότι για $\phi \neq 1,00$

$$N_\alpha = R_\alpha p + \epsilon \cdot [R_\alpha p (1-p)]^{\frac{1}{2}} \text{ προκύπτει ότι}$$

$$R_\alpha = \left[\frac{-\epsilon [p(1-p)]^{1/2} + [\epsilon^2 p \cdot (1-p) + 4p N_\alpha]^2}{2p} \right] \quad (16\alpha)$$

$$\text{όπου} \quad N_\alpha = N'_\alpha + \Delta / q_0 \quad (16\beta)$$

Έτσι μπορούμε γρήγορα να βρεθούμε κοντά στις τιμές του R_α που ικανοποιούν τη σχέση (15).

Στο πιο πάνω παράδειγμα αν λάβουμε για την εξέταση της τιμής στη θέση $\phi = 0,95$ κατ' αρχή τιμή του $R_\alpha = 70$ θα βρούμε :

$$\Delta = \left(-\frac{1}{2}\right) \cdot \frac{(4,22 - 3,98)}{(108,3)} = -0,0011 \mu^3 / \delta l$$

και $N_\alpha = 70 - 0,0011 / 0,006 = 29,8$ οπότε από την (16α) βρίσκουμε $R_\alpha = 69,5$ όσο δηλαδή και από διάγραμμα Δ.2.2.

2.3. Τροφοδοσία ενός βρόχου σε περισσότερα σημεία

Στα σχήματα 2.3 (α) και (β) απεικονίζονται οι περιπτώσεις δύο βρόχων που τροφοδοτούνται σε διάφορα σημεία από παροχές. Στην περίπτωση αυτή για να βρούμε τα ιδεατά σημεία διακοπής θα εφαρμόσουμε τις εξισώσεις (15) μεταξύ δύο διαδοχικών τροφοδοτήσεων κατά κυκλικό τρόπο, ώστε να αποκτήσουμε για δύο τροφοδοσίες (σχ. 2.3.α) τα δύο ιδεατά σημεία (1) και (2). Επίσης στο σχήμα (2.3.β) θα αποκτήσουμε τα τέσσερα ιδεατά σημεία (1), (2), (3) και (4) για τις τέσσερες τροφοδοσίες Q_1, Q_2, Q_3, Q_4 .

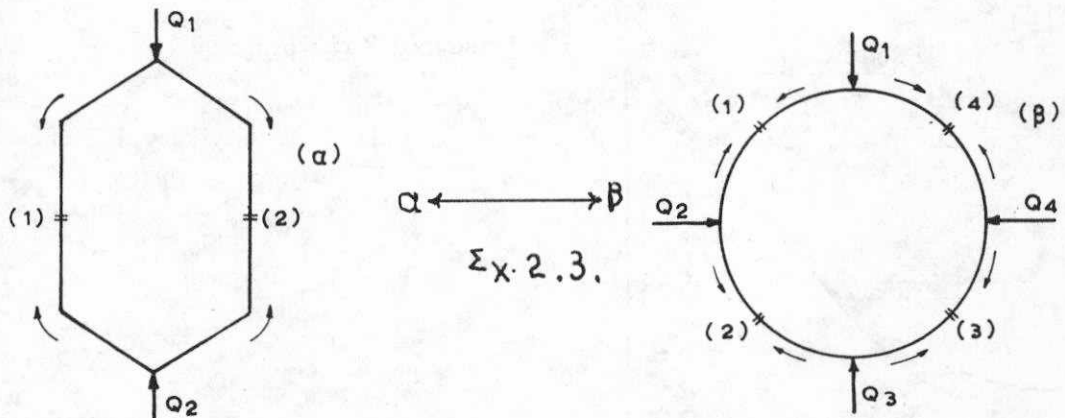
Για παράδειγμα μπορούμε να πάρουμε το δίκτυο του σχήματος 2.2 και να δεχθούμε και δεύτερη τροφοδότηση στο σημείο (4) το οποίο το ονομάζουμε (0') (βλ. σχ. 2.4) οπότε βρίσκουμε τα ιδεατά σημεία διακοπής στον κόμβο (2) και (6) με τα εξής στοιχεία περίπου :

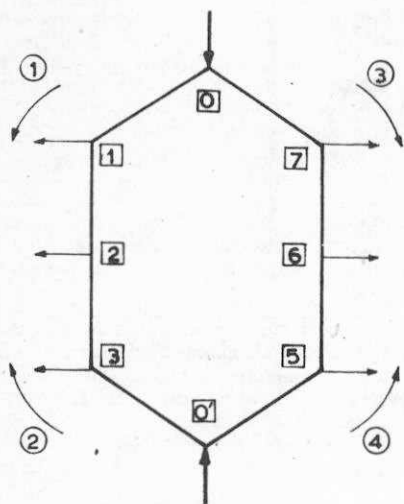
$$R_1 = 24,5 \quad R_2 = 20,5 \quad h_1 = h_2 = 0,35 \mu.$$

$$R_3 = 19 \quad R_4 = 27 \quad h_3 = h_4 = 1,15 \mu.$$

3. Οι απώλειες φορτίου σε περισσότερους βρόχους

Στο θέμα αυτό παρατηρούμε ότι ουσιαστικά το πρόβλημα δεν παίρνει άλλη μορφή παρά αυτή που έχει και ένα αντίστοιχο πρόβλημα όπου $\phi = 1,00$ δηλαδή όταν όλες οι υδροληψίες είναι ανοιχτές. Πράγματι με τις αιδεατές παροχές δίνουμε αιτιοκρατικό χαρακτήρα στο πρόβλημα και επομένως μπορούμε να εργασθούμε, π.χ. με τη μέθοδο του H. Cross προσδιορίζοντας τα σημεία ιδεατής διακοπής. Στην περίπτωση αυτή με τις σχέσεις (16), (16α) και (16β) και συνεχείς δια-

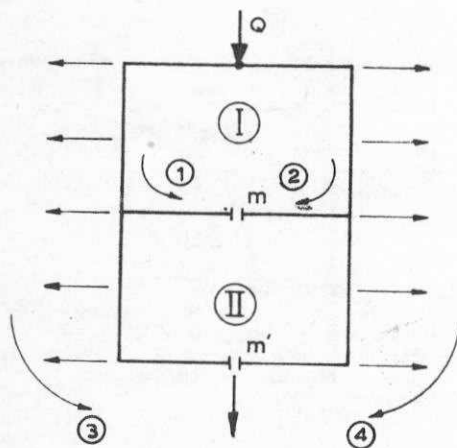




Σχ. 2.4

δομικές προσεγγίσεις είναι δυνατό να βρούμε τα σημεία εκείνα ιδεατής διακοπής στα όποια θα έχουμε ισοροπία πιεζομετρικών γραμμών, λαμβάνοντας βέβαια κάθε φορά υπόψη σάν παροχές τις «ιδεατές» που μās δίδουν οι σχέσεις (14) και (14α).

Επίσης μπορούμε — αν βέβαια μās συμφέρει γραφικά ή αναλυτικά — π.χ. στους δύο βρόχους του σχ. 3.1 να εκλέξουμε μια σταθερή θέση του ιδεατού σημείου m και στη συνέχεια να μετακινήσουμε το m' ώστε $h_3 = h_4$ για δεδομένη τιμή της φ. Μετά κρατάμε το m' σταθερό και μετακινούμε το m έτσι ώστε $h_1 = h_2$ για την ίδια τιμή της φ. Αυτό επαναλαμβάνεται μέχρι να βρούμε με ικανοποιητική προσέγγιση τέτοια σημεία m και m' ώστε $h_1 = h_2$ και $h_3 = h_4$ για την ίδια τιμή της φ.



Σχ. 3.1

Όταν έχουμε περισσότερες τροφοδοσίες μπορούμε να ακολουθήσουμε πάλι την ίδια διαδικασία μόνο που η υπολογιστική εργασία αυξάνεται πολύ. Πάντως δεν πρέπει να ξεχνάμε ότι, για μια εκκίνηση ικανοποιητική θα πρέπει να βρίσκουμε στην αρχή τα ιδεατά σημεία διακοπών θεωρώντας όλες τις υδροληψίες ανοιχτές.

4. Η βελτιστοποίηση των κλειστών κυκλοφοριακών δικτύων

Το πρόβλημα αυτό δε θα μās απασχολήσει ιδιαίτερα μια και δεν αποτελεί αντικείμενο της παρούσας εργασίας. Έξάλλου το πρόβλημα με την εφαρμογή των «ιδεατών παροχών» μεταπίπτει σε πρόβλημα βελτιστοποίησης βραχυτών δικτύων τα όποια δέχονται σταθερές παροχές για το σχεδιασμό τους.

Απλώς και μόνο για να καθοδηγήσουμε τους μελετητές μικρών και απλών δικτύων ώστε να μπορούν να επιλύσουν τέτοια προβλήματα δίδουμε στο σχήμα 4.1. ένα βρόχο με μία σταθερή ύψομετρικά τροφοδοσία στο (0).

Αν δεχθούμε τρία σημεία ιδεατής διακοπής m', m, m'' και κάθε φορά εφαρμόζοντας τις ιδεατές παροχές υπολογίζουμε τις βέλτιστες διαμέτρους και το κόστος για κάθε σημείο m, θα προκύψει μια χαρακτηριστική καμπύλη κόστους σε συνάρτηση με το πλήθος των υδροληψιών, π.χ. R_α. Βέβαια αν πετύχουμε με τα τρία μόνο σημεία να βρούμε το ελάχιστο κόστος τότε έχουμε μειώσει τους υπολογισμούς στο ελάχιστο, αλλιώς θα πρέπει να πάρουμε και άλλο σημείο m''' κ.ο.κ.

Με τον ίδιο τρόπο θα μπορούσαμε να αντιμετωπίσουμε και τη βελτιστοποίηση ενός βρόχου που δέχεται n τροφοδοσίες σταθερές ύψομετρικά. Τότε όμως θα πρέπει να εξετάσουμε περισσότερους συνδυασμούς, π.χ. αν για κάθε τμήμα (i) μεταξύ δύο τροφοδοτήσεων Q_i και Q_{i+1} εξετάσουμε μι ιδεατά σημεία τότε το πλήθος των συνδυασμών για όλα τα τμήματα θα είναι (μ₁, μ₂, ... μ_n) δηλαδή αρκετά μεγάλο.

Με ανάλογες σκέψεις θα μπορούσαμε να προχωρήσουμε σε περισσότερους βρόχους με σταθερές ύψομετρικά τροφοδοσίες.

Το πρόβλημα όταν οι τροφοδοσίες δεν είναι σταθερές ύψομετρικά γίνεται ακόμα πιο πολύπλοκο γιατί τότε προφανώς θα πρέπει πέρα από τα δοκιμαστικά σημεία ιδεατής διακοπής να εξετασθούν και διάφορες ύψομετρικές θέσεις των τροφοδοσιών.

5. Συμπεράσματα

(α) Οι παραδοχές και τα αποτελέσματα στα όποια κατέληξε η έρευνα [4] όπου εξετάστηκαν τα άκτινωτά δίκτυα, μπορούν να εφαρμοσθούν και στα κλειστά κυκλοφοριακά δίκτυα με όρισμένες τροποποιήσεις σε ότι αφορά τις παροχές σχεδιασμού.

(β) Έτσι, η μέθοδος που προτείνεται για τη λύση του προβλήματος ενός βρόχου που λειτουργεί με ελεύθερη ζήτηση επιτυγχάνεται με την εφαρμογή «ιδεατών παροχών» που δίδουν οι σχέσεις (14) ή (14α).

$$Q_i = [\mu_i^2 + \sigma_i^2 + 2\rho.\epsilon.\mu_i\sigma_i]^{\frac{1}{2}}$$

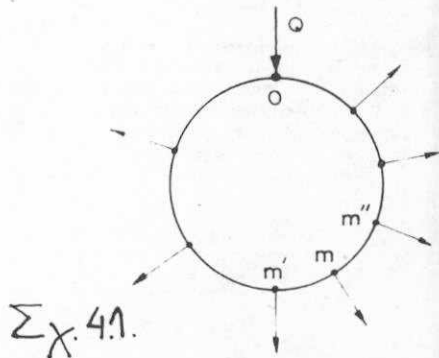
$$\eta \text{ \acute{a}κομα και } Q_i = [\mu_i\alpha + \frac{\alpha(\alpha-1)}{2}\mu_i(\alpha-2)\sigma^2 + \alpha.\rho.\epsilon.\mu_i\alpha-1\sigma_i]^{\frac{1}{\alpha}}$$

$$\text{όταν } \alpha \neq 2,0 \quad (\alpha = 1,76 \text{ έως } 2,00)$$

0,707 ≤ ρ < 1 και συνήθως μπορεί να λαμβάνεται ίσος με 0,75 περίπου.

μ_i σ_i = μέση τιμή και τυπική απόκλιση της παροχής στον κλάδο i που δίδονται από τις σχέσεις (2α)
 ε = τυποποιημένη τυχαία μεταβλητή κανονικής κατανομής.

Οι παράμετροι βέβαια μ_i και σ_i υπολογίζονται κάθε φορά για πλήθος στομιών R_α ή R_β άριστερά ή δεξιά που προκύπτουν από την έκλογή του ιδεατού σημείου διακοπής (δοκιμαστικά ή όχι). Το όριστικό σημείο ιδεατής διακοπής προκύπτει από τη σχέση (15) δηλαδή την ισοροπία των πιεζομετρικών γραμμών στο βρόχο (h_α = h_β):



Σχ. 4.1

$$\Sigma K_i [\mu_i^2 + \sigma_i^2 + \epsilon(2\rho\mu_i\sigma_i)] = \Sigma K_j [\mu_j^2 + \sigma_j^2 + \epsilon(2\rho\mu_j\sigma_j)]$$

όπου οι δείκτες i και j παριστάνουν την άριστερά και δεξιά διαδρομή, το $\rho = 0,75$ και το ϵ αντιστοιχεί στην επιθυμητή ποιότητα λειτουργίας φ .

Όταν ο αριθμός των στομιών R_a ή R_b είναι μικρότερος των 10 εφαρμόζονται σαν ιδεατές παροχές οι τιμές του πίνακα 6.1 της έρευνας που έγινε στα άκτινωτά [4] ή ακόμα και με μια προσέγγιση που μπορεί να γίνει άνεκτη οι τιμές που δίδουν οι σχέσεις 2α.

Η άπώλεια φορτίου τέλος στο βρόχο θα είναι

$$h = h_a = h_b$$

$$\eta \quad h = \frac{1}{2} (h_a + h_b) = m + u \cdot S. \quad (u = \epsilon)$$

που εκφράζονται αναλυτικά από τη σχέση (12) δηλαδή

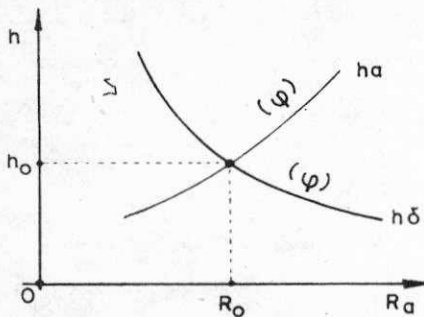
$$h = \frac{1}{2} [\Sigma K_i (\mu_i^2 + \sigma_i^2) + \Sigma K_j (\mu_j^2 + \sigma_j^2)] + \epsilon \{ \rho [(\Sigma K_i \mu_i \sigma_i) + (\Sigma K_j \mu_j \sigma_j)] \}$$

ή τις σχέσεις $h_a = \Sigma K_i (\mu_i^2 + \sigma_i^2) + \epsilon \cdot [\rho (2 \Sigma K_i \mu_i \sigma_i)]$

$$h_b = \Sigma K_j (\mu_j^2 + \sigma_j^2) + \epsilon \cdot [\rho (2 \Sigma K_j \mu_j \sigma_j)]$$

(Αφού με την (15) βρίσκουμε τέτοιο ιδεατό σημείο διακοπής ώστε $h_a = h_b$ για το ϵ).

Η εφαρμογή της προτεινόμενης μεθόδου μπορεί να γίνεται και γραφικά με την εφαρμογή της σχέσεως (14) σε τρεις τουλάχιστο θέσεις της τιμής R_a για τη δεδομένη φ (σχ. 5.1).



Σχ. 5.1.

Επίσης μπορούμε να εφαρμόσουμε τη μέθοδο του H. Cross αλλά με ιδεατές παροχές ξεκινώντας από κάποιο δοκιμαστικό σημείο ιδεατής διακοπής που προκύπτει θεωρώντας όλες τις ύδροληψίες ανοιχτές. (παράγρ. 2.1 και σχέσεις 16, 16α).

(γ) Έτσι βλέπουμε ότι ουσιαστικά η μέθοδος είναι ή ίδια με τη μέθοδο του H. Cross ελέγχου των κλειστών κυκλοφοριακών δικτύων, με μόνη τη διαφορά ότι εδώ οι παροχές έχουν πιθανοθεωρητικό χαρακτήρα.

(δ) Η μέθοδος εφαρμόζεται όπως και στα άκτινωτά δίκτυα οποιαδήποτε σχέση και αν εφαρμόσουμε για τις γραμμικές απώλειες. Επίσης ο συντελεστής ρ της σχέσεως (11) μπορεί να ελέγχεται σε κάθε περίπτωση όταν επιζητείται μεγαλύτερη ακρίβεια. Πάντως μια τιμή $\rho = 0,75$ είναι πολύ ικανοποιητική για τις συνηθισμένες εφαρμογές.

(ε) Για την επαλήθευση της προτεινόμενης μεθόδου έγινε η εξομοίωση του βρόχου που απεικονίζεται στο σχήμα 2.2 και τα αποτελέσματα που προέκυψαν συγκρίθηκαν με τα αντίστοιχα αποτελέσματα που δίνουν οι σχέσεις (12) και (15). Η σχεδόν σύμπτωση των αποτελεσμάτων (απόκλιση κατά 2% έως 3% μόνο στην απώλεια φορτίου) και η προσέγγιση της τυποποιημένης τιμής της απώλειας φορτίου προς την τυποποιημένη τυχαία μεταβλητή της κανονικής κατανομής (Διάγραμμα Δ.2.2.) επαληθεύει πλήρως την προτεινόμενη μέθοδο.

(στ) Τελικά σημειώνεται ιδιαίτερα το γεγονός ότι εδώ όπως και στα άκτινωτά δίκτυα ένα πιθανοθεωρητικό πρόβλημα μετατρέπεται σε αιτιοκρατικό. Έτσι με τη μέθοδο αυτή της εφαρμογής «ιδεατών παροχών» το πρόβλημα μεταπίπτει στα γνωστά αιτιοκρατικά προβλήματα ύπολογισμού απωλειών ή βελτιστοποιήσεως βροχωτών δικτύων που επιλύονται με συγκεκριμένες παροχές. Με αυτό τον τρόπο αποφεύγεται ένας μεγάλος όγκος ύπολογισμών που θα απαιτούσε, π.χ. την εκτέλεση εξομοιώσεως για κάθε εξεταζόμενη περίπτωση κλειστού κυκλοφοριακού δικτύου. Επίσης είναι δυνατό τα προβλήματα απλών βροχωτών δικτύων που λειτουργούν με ελεύθερη ζήτηση να επιλύονται και σε μικρά μελετητικά γραφεία με τη χρήση μόνο μικρών ύπολογιστικών μηχανών.

Τέλος επισημαίνεται το γεγονός ότι η εφαρμογή των ιδεατών παροχών τοποθετεί το πρόβλημα στη σωστή του βάση και αποκλείει υπερσχεδιασμούς ή ύποσχεδιασμούς του δικτύου, και επιμένοντας ύποβληθεί το μελετητή μηχανικό στη λήψη σωστών αποφάσεων σε ότι αφορά τη μορφή του δικτύου, το μέγεθος των σωληνωτών αγωγών, την ισχύ ένδεχομένως των άντλητικών συγκροτημάτων με τον σωστό ύπολογισμό της απώλειας φορτίου κλπ.

6. Βασικά Σύμβολα

- Q, q, q₀ = παροχή; μέση παροχή άρδευσεως άγροτεμαχίου εντός άρδευτικής ημέρας; όνομαστική παροχή στομιού ύδροληψίας.
- B = βαθμός ελευθερίας = q₀/q
- φ = ποιότητα λειτουργίας = 1/B
- N = πλήθος ανοιχτών στομιών ύδροληψίας
- R = συνολικό πλήθος στομιών ύδροληψίας που εξυπηρετείται από μια εξεταζόμενη θέση - Ύδραυλική άκτινα
- p = πιθανότητα λειτουργίας στομιού ύδροληψίας
- μ = μέση τιμή παροχής
- σ = τυπική απόκλιση της παροχής
- ε = τυποποιημένη μεταβλητή κανονικής κατανομής
- h = απώλειες ενέργειας σε κλειστούς σωληνωτούς άγωγους
- ρ = συντελεστής
- u = μέση ταχύτητα μέσα στους σωληνωτούς άγωγους
- K = συντελεστής απωλειών
- D = έσωτερική διάμετρος σωληνωτού άγωγού
- L, l = μήκη άγωγών
- n = συντελεστής τραχύτητας
- α_i = αριθμητικός εκθέτης
- P(X ≤ x) = πιθανότητα όπως X ≤ x
- P(X = x) = p(x) = πιθανότητα όπως X = x
- C_v = συντελεστής μεταβολής παροχών
- u, u(φ) = τυποποιημένη τιμή της απώλειας φορτίου = h - m/S, - τιμή τυποποιημένης κατανομής που αντιστοιχεί σε μια τιμή φ.
- m = μέση τιμή απώλειας φορτίου
- s = τυπική απόκλιση απώλειας φορτίου
- H = ύψόμετρο

7. Βιβλιογραφία

1. Davis and Sorensen: «Handbook of applied Hydraulics» Mc, Graw Hill, third edit., 1969.
2. Κακούλος Θ.: «Θεωρία πιθανοτήτων και στοχαστικών ανελίξεων» Αθήνα, 1970.
3. Λαμπράκης Δ.: «Μαθηματική Στατιστική 1» Ιωάννινα, 1972.
4. Λαζαρίδης Α.: «Οι απώλειες φορτίου και οι παροχές σχεδιασμού σε άκτινωτά υπό πίεση άρδευτικά δίκτυα με έλευθερη ζήτηση», Τεχνικά Χρονικά, τεύχ. 1/79 Π-Μ.
5. Ξανθόπουλος Θ.: «Ένοποιημένα μαθηματικά όμοιώματα διά τας μη μονίμους ροές υπό πίεση και έλευθεραν έπιφάνειαν - Άρδευσεις διά κατακλιωτισμού», Έκδοσις Τ.Ε.Ε., Αθήνα 1974.

Hydraulic Head Losses and Discharges Determination for Closed Circulation (looping) Irrigation Networks under Pressure with Fluctuating Demand

By L. Lazaridis*

Summary

The function of closed circulation (looping) irrigation networks under pressure with fluctuating demand follows a probabilistic trend. Thus the corresponding hydraulic head losses follow a probabilistic trend and the main objective of this work was to define these losses in a loop of the network, which functions under fluctuating demand.

The search of the solution based on the distribution of the head losses, as calculated for radial networks. Ideal discharges were estimated, whose application on the different branches of the loop produces those head losses, which correspond to the desirable probability level (function quality level).

The same equation, as for the radial networks, has been considered and in this problem to present the random variable

$$h = m + u.s$$

where m and s are the average value and the standard

deviation of the head loss respectively, while the standardized value of the head loss was proven to be equal in the application field to ϵ which is the standardized value of the normal distribution.

The results of this research are similar to those which were achieved from the analysis of the radial networks and these results have been come true by simulation technique applied in a closed circulation loop.

Conclusively, the «ideal discharges» Q_k were defined, as the following expression presents,

$$Q_k = [\mu_k^2 + \sigma_k^2 + \epsilon \cdot (2 \cdot \rho \cdot \mu_k \cdot \sigma_k)]^{1/2}$$

where μ_k and σ_k are the average value and the standard deviation of the discharge in the branch i or j of the loop (i or j is considered respectively for the anticlockwise or clockwise direction in the loop).

The coefficient ρ is taken approximately 0.75.

* Civil engineer of National Technical University of Athens 1955. He was engaged in the reconstruction of the Magnesia region which suffered severe earthquake activity, in the military works, in land Reclamation service of ministry of Agriculture and in

technical department of municipalities and communities of Karditsa. Since 1961 as a consulting engineer in the hydraulics works field.